

С. Н. БАБЮК, И. А. ЦУРПАЛ

НЕЛИНЕЙНЫЕ ЗАДАЧИ КОНЦЕНТРАЦИИ
 НАПРЯЖЕНИЙ ДЛЯ ПЛАСТИН С
 КРИВОЛИНЕЙНЫМИ ОТВЕРСТИЯМИ

Развивается метод решения нелинейных задач концентрации напряжений около произвольных отверстий с гладкими контурами при учете кубического закона напряжения-деформации. Дано решение задачи о распределении напряжений вблизи эллиптического отверстия с учетом трех приближений. Получены выражения для компонент тензора напряжений и коэффициентов концентрации и показано влияние физической нелинейности, кривизны контура, величины внешней нагрузки на распределение напряжений по контуру эллиптического отверстия.

В работах [1—3] рассмотрены задачи о концентрации напряжений около отверстий при сохранении в нелинейном законе упругости квадрата интенсивности напряжений сдвига. Этот вариант хорошо описывает поведение металлических материалов. В связи с широким применением в современной технике конструкционных материалов малой жесткости возникла необходимость учета нелинейных эффектов при исследовании задач концентрации напряжений. Здесь развивается метод и получено решение задач концентрации напряжений для высокозластичных материалов.

1. Исследуем напряженное состояние неограниченной изотропной пластиинки с произвольным отверстием, получаемым из отображающей функции

$$z = \varphi(\tilde{z}) = R [\tilde{z} + \varepsilon f(\tilde{z})], \quad (z = re^{i\varphi}, \tilde{z} = pe^{i\theta}) \quad (1)$$

которая реализует конформное отображение бесконечной плоскости с круговым отверстием единичного радиуса на бесконечную плоскость с отверстием рассматриваемой формы. Параметры R и ε , а также функция $f(\tilde{z})$ характеризуют форму и размеры отверстия и имеют для эллиптического отверстия значения: $R = \frac{a+b}{2}$, $\varepsilon = \frac{a-b}{a+b}$, $f(\tilde{z}) = \tilde{z}^{-1}$,

где a и b — полуоси эллипса.

Предполагаем, что деформации малы, а материал пластиинки подчиняется нелинейному закону упругости [4]

$$\begin{aligned} \varepsilon_{ij} = & \sigma_{11} \tau_{kk}^2 \delta_{ij} + \sigma_{12} \tau_{ij}^2 + \sigma_{21} \tau_{kk}^2 \delta_{ij} + \sigma_{22} \tau_{km} \tau_{kn} \tau_{jn} \delta_{ij} - 2 \sigma_{22} \tau_{kk} \tau_{ij} + \\ & + \sigma_{31} \tau_{kk}^2 \delta_{ij} + \sigma_{32} \tau_{km} \tau_{kn} \tau_{ij} + \sigma_{33} \tau_{km} \tau_{kn} \tau_{nn} \delta_{ij} + \sigma_{31} \tau_{kk}^2 \tau_{ij} \end{aligned} \quad (2)$$

где ε_{ij} , ε_{ij}^* — соответственно компоненты тензора напряжений и деформаций, δ — символ Кронекера, a_{ij} — постоянные, характеризующие механические свойства высокомодульных полимерных материалов, повторяющиеся индексы обозначают суммирование.

Выражая компоненты тензора напряжений через функцию напряжений Эйри

$$\varepsilon_{ij} = F_{kk} \delta_{ij} \rightarrow F_{ij} \quad (3)$$

и подставляя компоненты тензора деформаций (2) в условие совместности деформаций, получим основное уравнение физически нелинейной плоской теории упругости в виде

$$\begin{aligned} & \Delta \Delta F + \alpha \Delta [(\Delta F)^2] + 3 [\Delta (F_{ij} F_{ji}) + 2 (\Delta F F_{ij})_{ij}] + \\ & + \gamma \Delta [(\Delta F)^2] + \delta (F_{ij} F_{jj} F_{km})_{km} + \omega [\Delta (\Delta F F_{ij} F_{ji}) + ((\Delta F)^2 F_{ij})_{ij}] = 0 \end{aligned} \quad (4)$$

где запятая обозначает дифференцирование по соответствующим координатам.

Приближенное решение нелинейного уравнения (4) для случая, когда бесконечная плоскость ослаблена криволинейным отверстием (1), представим в виде двойного ряда по малым параметрам

$$F(r, \varphi, \alpha, \varepsilon) = \sum_{i=1}^{\infty} \sum_{j=0}^{\infty} \alpha^i \varepsilon^j F^{(i,j)} \quad (5)$$

Решение линейной задачи по методу возмущений с учетом двух приближений (в ряду (5) сохранялись слагаемые с точностью до ε^2) отличается от точного решения [1–3] не более чем на 3%. Решение нелинейной задачи для кругового отверстия при этом законе упругости (2) дает право с небольшой погрешностью решать поставленную задачу с учетом трех приближений.

Подставляя неизвестную функцию (5) в разрешающее уравнение (4), в каждом из приближений получим последовательность бесконечных неоднородных бигармонических уравнений

$$\Delta \Delta F^{(i,j)} = L_{ij}(F^{(0,0)}, \dots, F^{(i-1,j-1)}) \quad (6)$$

Явный вид операторов L_{ij} для физически нелинейной пластинки с круговым отверстием в первом приближении имеет вид

$$\begin{aligned} & \Delta \Delta F^{(1,0)} + \alpha \Delta [(\Delta F^{(0,0)})^2] + 3 \left\{ \Delta \left[F_{rr}^{(0,0)} F_{rr}^{(0,0)} + \left(\frac{1}{r} F_{r\varphi}^{(0,0)} + \frac{1}{r^2} F_{\varphi\varphi}^{(0,0)} \right)^2 \right] + \right. \\ & \left. + 2 \left(\frac{1}{r} F_{r\varphi}^{(0,0)} - \frac{1}{r^2} F_{\varphi\varphi}^{(0,0)} \right)^2 \right\} + 2 \frac{\partial^2}{\partial r^2} \left(\Delta F^{(0,0)} F_{rr}^{(0,0)} \right) + \\ & + 2 \left(\frac{1}{r} \frac{\partial}{\partial r} + \frac{1}{r^2} \frac{\partial^2}{\partial \varphi^2} \right) \left[\Delta F^{(0,0)} \left(\frac{1}{r} F_{r\varphi}^{(0,0)} + \frac{1}{r^2} F_{\varphi\varphi}^{(0,0)} \right) \right] + \end{aligned} \quad (7)$$

$$+ 4 \left(\frac{1}{r} \frac{\partial}{\partial r \partial \varphi} - \frac{1}{r^2} \frac{\partial}{\partial \varphi} \right) \left| \Delta F^{(0,0)} \left(\frac{1}{r} F_{,r}^{(0,0)} - \frac{1}{r^2} F_{,\varphi}^{(0,0)} \right) \right| = 0 \quad (7)$$

Для определения напряженного состояния нелинейно-упругой пластиинки с криволинейным отверстием имеем уравнение

$$\begin{aligned} & \Delta \Delta F^{(1,1)} + \sigma \Delta [2 \Delta F^{(0,0)} \Delta F^{(0,1)}] + \beta \left[2 \Delta \left[F_{,rr}^{(0,0)} F_{,rr}^{(0,1)} + \right. \right. \\ & + \left(\frac{1}{r} F_{,r}^{(0,0)} + \frac{1}{r^2} F_{,\varphi}^{(0,0)} \right) \left(\frac{1}{r} F_{,r}^{(0,1)} + \frac{1}{r^2} F_{,\varphi}^{(0,1)} \right) + \\ & + 2 \left(\frac{1}{r} F_{,r\varphi}^{(0,0)} - \frac{1}{r^2} F_{,\varphi\varphi}^{(0,0)} \right) \left(\frac{1}{r} F_{,r\varphi}^{(0,1)} - \frac{1}{r^2} F_{,\varphi\varphi}^{(0,1)} \right) \left| + 2 \frac{\partial^2}{\partial r^2} [(\Delta F^{(0,0)}) F_{,rr}^{(0,1)} + \right. \right. \\ & \left. \left. + (\Delta F^{(0,1)}) F_{,rr}^{(0,0)}] + 2 \left(\frac{1}{r} \frac{\partial}{\partial r} + \frac{1}{r^2} \frac{\partial^2}{\partial \varphi^2} \right) \right| \Delta F^{(0,0)} \left(\frac{1}{r} F_{,r}^{(0,1)} + \frac{1}{r^2} F_{,\varphi}^{(0,1)} \right) + \right. \\ & \left. + \Delta F^{(0,1)} \left(\frac{1}{r} F_{,r}^{(0,0)} + \frac{1}{r^2} F_{,\varphi}^{(0,0)} \right) \right| + 4 \left(\frac{1}{r} \frac{\partial}{\partial r \partial \varphi} - \frac{1}{r^2} \frac{\partial}{\partial \varphi} \right) \times \\ & \times \left[\Delta F^{(0,0)} \left(\frac{1}{r} F_{,r\varphi}^{(0,1)} - \frac{1}{r^2} F_{,\varphi\varphi}^{(0,1)} \right) + \Delta F^{(0,1)} \left(\frac{1}{r} F_{,r\varphi}^{(0,0)} - \frac{1}{r^2} F_{,\varphi\varphi}^{(0,0)} \right) \right] \right] = 0. \end{aligned} \quad (8)$$

Для определения напряженного состояния пластиинки с криволинейным отверстием (1) необходимо воспользоваться формулами преобразования при повороте системы координат [1]. Представляя компоненты тензора напряжений σ_{ij} также в виде двойного ряда

$$\sigma_{km} = \sum_{i=1}^{\infty} \sum_{j=0}^{\infty} \alpha^i \varepsilon^j \sigma_{km}^{(i,j)} \quad (9)$$

и учитывая вид отображающей функции (1), получим напряжения в криволинейной системе координат

$$\begin{aligned} \sigma_{\varphi}^{(i,j)} &= \left(\Delta - \frac{\partial^2}{\partial r^2} \right) F^{(i,j)}(r, \theta) + \sum_{k=0}^{j-1} \left[L_1^{(j-k)} \left(\Delta - \frac{\partial^2}{\partial r^2} \right) + \right. \\ & + L_2^{(j-k)} \left(2 \frac{\partial^2}{\partial r^2} - \Delta \right) - L_3^{(j-k)} \frac{\partial^2}{\partial r \partial \theta} \frac{1}{r} \left. \right] F^{(i,k)}(r, \theta) \\ \sigma_{\theta}^{(i,j)} &= \frac{\partial^2}{\partial r^2} F^{(i,j)}(r, \theta) + \sum_{k=0}^{j-1} \left[L_1^{(j-k)} \frac{\partial^2}{\partial r^2} + \right. \\ & + L_2^{(j-k)} \left(\Delta - 2 \frac{\partial^2}{\partial r^2} \right) + L_3^{(j-k)} \frac{\partial^2}{\partial r \partial \theta} \frac{1}{r} \left. \right] F^{(i,k)}(r, \theta) \\ \tau_{\varphi\theta} &= \frac{\partial^2}{\partial r \partial \theta} \frac{1}{r} F^{(i,j)}(r, \theta) + \sum_{k=0}^{j-1} \left[(L_1^{(j-k)} - 2L_2^{(j-k)}) \frac{\partial^2}{\partial r \partial \theta} \frac{1}{r} + \right. \\ & + \frac{1}{2} L_3^{(j-k)} \left(\Delta - 2 \frac{\partial^2}{\partial r^2} \right) \left. \right] F^{(i,k)}(r, \theta) \end{aligned} \quad (10)$$

где $L_i^{(j-1)}$, $L_i^{(j-k)}$, $L_i^{(j-k)}$ — дифференциальные операторы, вид которых зависит от отображающей функции (1).

Функции $F^{(j, k)}(\rho, \theta)$, входящие в (10), представляют собой решение уравнения (6) в виде ряда Фурье, в которых переменные r , φ заменены соответственно на ρ и θ .

2. Исследуем напряженное состояние нелинейно-упругой пластинки с эллиптическим отверстием при всестороннем растяжении. Функция напряжений линейной задачи для кругового отверстия имеет вид [2]

$$F^{(0, 0)} = \frac{p}{2} (r^2 - 2\ln r) \quad (11)$$

Подставляя значение этой функции и ее производных в уравнение (6), (7), получим характеристики напряженного состояния нелинейно-упругой пластинки с круговым отверстием во втором приближении

$$\begin{aligned} F^{(0, 0)} &= -p^2 \left(\frac{1}{2r^2} + 4\ln^2 r + \ln r \right) \\ F^{(2, 0)} &= 2p^3 \left(\frac{2}{r^2} + 16\ln^2 r - 4\ln r \right) + 3p^3 \left(34\ln^2 r + \frac{27}{2} \frac{1}{r^2} + \frac{2}{3} \frac{1}{r^4} - \right. \\ &\quad \left. - 80\ln^2 r + \frac{80}{3} \ln^3 r + \frac{89}{3} \ln r \right) - 2p^3 \left(2\ln^2 r + \frac{1}{2} \frac{1}{r^2} + \right. \\ &\quad \left. + \frac{1}{6} \frac{1}{r^4} + \frac{5}{3} \ln r \right) - p^3 \left(4\ln^2 r + \frac{1}{r^2} + 2\ln r \right) \end{aligned} \quad (12)$$

Для линейно-упругой пластинки с эллиптическим отверстием функции напряжений с точностью ε^2 имеют вид

$$\begin{aligned} F^{(0, 1)} &= p \left(\frac{1}{r^2} - 1 \right) \cos 2\varphi \\ F^{(0, 2)} &= p \left[\left(\frac{3}{2} \frac{1}{r^4} - \frac{1}{r^2} \right) \cos 4\varphi - \ln r \right] \end{aligned} \quad (13)$$

Подставляя значение функций (11) – (13) и их производных в уравнение (8), получим разрешающее уравнение для нелинейно-упругой пластинки с эллиптическим отверстием

$$\Delta \Delta F^{(1, 1)} + 3p^2 \left(\frac{320}{r^8} + \frac{768}{r^6} \right) \cos 2\varphi = 0 \quad (14)$$

Решение этого уравнения представим в виде частного интеграла

$$F_{\text{част.}}^{(1, 1)} = \left(k_1 \frac{\ln r}{r^2} + k_2 \frac{1}{r^4} \right) \cos 2\varphi \quad (15)$$

и интеграла однородного уравнения

$$F_{\text{одн.}}^{(1, 1)} = \sum_{m=2}^{\infty} (c_m r^{-m+2} + c_{m1} r^{-m}) \cos m\varphi \quad (16)$$

Постоянные интегрирования c_{m2} , c_{mi} определим из граничных условий на контуре свободного от внешних усилий отверстия при

$$\begin{aligned} \left(\Delta - \frac{\partial^2}{\partial \varphi^2} \right) F^{(1,1)} \Big|_{\varphi=1} + \left[L_1^{(1)} \left(\Delta - \frac{\partial^2}{\partial \varphi^2} \right) + L_2^{(1)} \frac{\partial^2}{\partial \varphi^2} - \right. \\ \left. - L_3^{(1)} \frac{\partial^2}{\partial \varphi \partial \theta} \frac{1}{r} \right] F^{(1,0)} \Big|_{\varphi=1} = 0 \\ \frac{\partial^2}{\partial \varphi \partial \theta} \frac{1}{r} F^{(1,1)} \Big|_{\varphi=1} + \left[(L_1^{(1)} - 2L_2^{(1)}) \frac{\partial^2}{\partial \varphi \partial \theta} \frac{1}{r} + \right. \\ \left. + \frac{1}{2} L_3^{(1)} \left(\Delta - 2 \frac{\partial^2}{\partial \varphi^2} \right) \right] F^{(1,0)} \Big|_{\varphi=1} = 0 \end{aligned} \quad (17)$$

где L_i для отображающей функции $z = R \left(\tilde{z} + \frac{1}{\tilde{z}} \right)$ имеют вид

$$L_1^{(1)} = \frac{\cos 2\theta}{r} \frac{\partial}{\partial r} - \frac{\sin 2\theta}{r^2} \frac{\partial}{\partial \theta}, \quad L_2^{(1)} = 0, \quad L_3^{(1)} = -\frac{4 \sin 2\theta}{r^2} \quad (18)$$

Учитывая (14) – (18), получим

$$F^{(1,1)}(r, \varphi) = \beta p^2 \left(\frac{20 \ln r}{3} \frac{1}{r^2} - \frac{2}{r^4} + \frac{5}{3} + \frac{11}{r^2} \right) \cos 2\varphi \quad (19)$$

Для анализа нелинейных эффектов напряженного состояния приведем выражения коэффициентов концентрации напряжений $k = \frac{c_0}{p}$. Учитывая (9), (11), (12), (13), (19), найдем компоненты тензора напряжений (10).

Коэффициент концентрации напряжений на контуре отверстия имеет вид

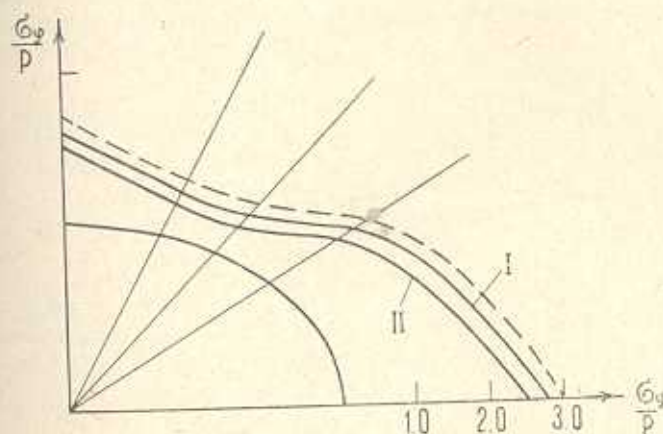
$$\begin{aligned} k = 2 - 10^3 p + \left(40 c_3 - \frac{82}{3} c_2 - \frac{26}{3} c_1 - 12 c_0 \right) p^2 + \\ + 4 c_0 \cos 2\theta + c_2^2 (16 \cos 4\theta - 12) - \frac{80}{2} p^2 c_0 \cos 2\theta \end{aligned} \quad (20)$$

На фиг. 1 приведен коэффициент концентрации (20) по контуру отверстия для различных параметров внешней нагрузки, механических свойств материала и кривизны контура. Пунктирная линия относится к линейной теории, а сплошная — к нелинейной.

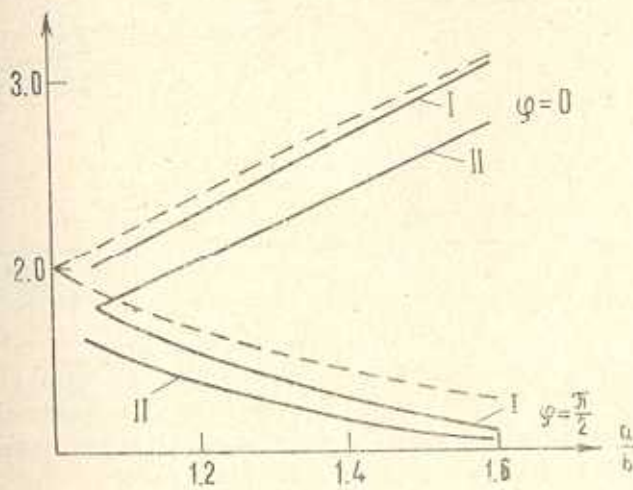
Кривая I построена для сжатия при $p = 120$; $\beta = 0.1 \cdot 10^{-3}$; $\alpha = 0.1 \cdot 10^{-3}$; $c = 0.1 \cdot 10^{-1}$; $m = 0.1 \cdot 10^{-4}$; $\frac{a}{b} = 1.5$. Кривая II — для тех же параметров при растяжении.

На фиг. 2 приведено значение коэффициента концентрации (20) в зависимости от кривизны контура для материала с характеристиками

$\beta = 0.1 \cdot 10^{-3}$; $\alpha = 0.1 \cdot 10^{-3}$; $\delta = 0.1 \cdot 10^{-4}$; $\omega = 0.1 \cdot 10^{-4}$ при $p = 100$.
Пунктирная линия относится к линейной теории, сплошная — к нелинейной.



Фиг. 1.

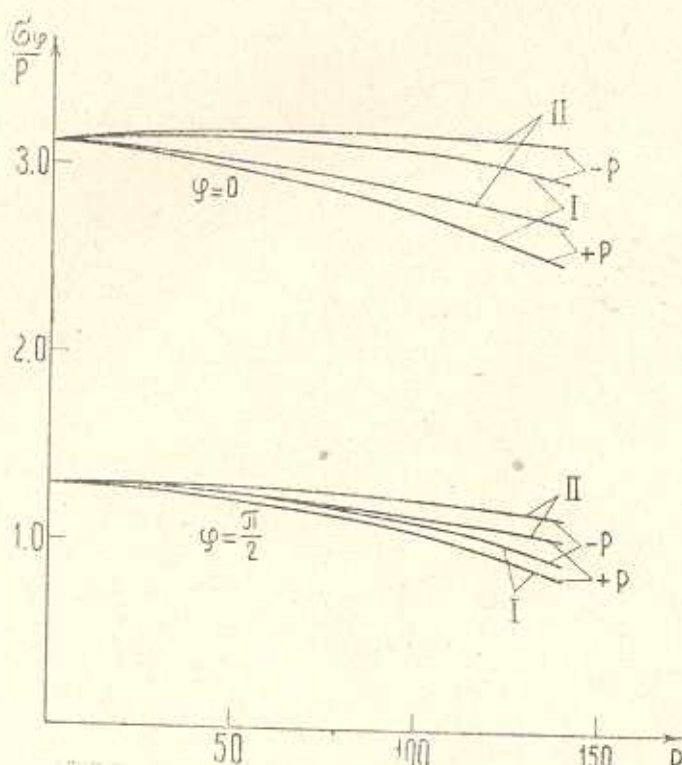


Фиг. 2.

Кривая I построена при сжатии, II — при растяжении.

На фиг. 3 показано изменение коэффициента концентрации (20) в зависимости от величины внешней нагрузки при $\varphi = 0$ и $\varphi = \frac{\pi}{2}$ для растяжения и сжатия для различных физически нелинейных материалов. Кривая I — для материала с характеристиками $\alpha = 0.1 \cdot 10^{-3}$; $\beta = 0.1 \cdot 10^{-3}$; $\delta = 0.1 \cdot 10^{-4}$; $\omega = 0.1 \cdot 10^{-4}$; II — $\alpha = 0.1 \cdot 10^{-3}$; $\beta = 0.1 \cdot 10^{-3}$; $\delta = 0.5 \cdot 10^{-5}$; $\omega = 0.5 \cdot 10^{-5}$.

Результаты анализа решений поставленной задачи показывают: коэффициенты концентрации нелинейно зависят от свойств материала, величины нагрузки и кривизны контура; для высокоэластичных материалов незначительное увеличение нагрузки приводит к существенному уменьшению коэффициента концентрации в наиболее опасной



Фиг. 3.

точке контура; учет нелинейных эффектов приводит к выравниванию поля напряжений в зоне концентрации; коэффициент концентрации в отличие от другого варианта нелинейной теории упругости [1–3] имеет разное значение при растяжении и сжатии.

Институт механики
АН Украинской ССР

Поступила 20 VII 1970

В. І. РІБІЧАК, І. А. ЦУРПАЛ

ЦИРЮЧЬКІЙ ЧІПІЗЕВІСРІЗНІВІЙ ОД ТОВ.ЗІРНІВІСРІЧНІ
ЧІРЧЧІВІ ПІЗДРІВІВІ СІДЛІВІ СІЛІЧІВІ

І. А. ЦУРПАЛ

Часопис наданий для рецензії та публікації в Українському науково-технічному журналі

լարումների կոնցենտրացիայի մասին խնդիրների լուծման հղանակը Խնդիրները լուծվում են փոքր պարամետրի մեթոդով: Որպես օրինակ դիտարկվում է կորագիծ անցքի մոտ լարումների կոնցենտրացիայի մասին խնդիրի լուծմարը:

Ցույց է արված նոր Հաստատուների և արտաքին բեռի մեծության ու տեսքի ազդեցությանը լարումների կոնցենտրացիայի վրա:

NONLINEAR PROBLEMS OF STRESS CONCENTRATION FOR PLATES WITH CURVILINEAR HOLES

S. N. BABIUK, I. A. CIURPAL

С у м м а р у

The paper presents a method for solving problems of stress concentration near arbitrary holes without corner points with an arbitrary stress field on the infinity for a new variant (the cubic law) of nonlinear stress-strain relations. To solve the nonlinear equations a combination of the method of disturbance of the boundary shape with the method of small parameter is employed.

As an example the problem of stress concentration near a curvilinear hole is considered. The effect of physical nonlinearity and of the value of load on the stress concentration along the hole boundary is also studied.

Л И Т Е Р А Т У Р А

- Гузь А. Н., Савин Г. Н., Цурпаль И. А. Концентрация напряжений около криволинейных отверстий в физически нелинейной упругой пластинке. Arch. Mech. Stos., т. 16, 4, 1964, 1009.
- Савин Г. Н. Распределение напряжений около отверстий. Изд. „Наукова думка“, К., 1968.
- Цурпаль И. А. Некоторые задачи концентрации напряжений около отверстий и по-лостей с учетом физической нелинейности материала. Сб. Концентрация напряжений. 1968, вып. 2, 241.
- Пистер К. С., Ивенс Р. И. Расчет упругих напряжений в физически нелинейных твердых телах. Ракетная техника и космонавтика, 4, 11, 1966, 35.
- Цурпаль И. А. Об одном варианте задач о концентрации напряжений в нелинейной постановке. Прикл. механ., т. 4, вып. 10, 1968, 51.